

Research Paper



## Thermal Quantum Entanglement in XY-type Three-qubit Spin Chain Under Inhomogeneous Magnetic Field



Matin Alipour\*<sup>1</sup>, Rahimeh Soufiani <sup>2</sup>



This paper is an open access and licensed under the CC BY NC license.



DOI:10.22034/STRAP.2023.15724

**Reference to this article:** Alipour, M., & Soufiani, R. (2023). Thermal quantum entanglement in XY-type three-qubit spin chain under inhomogeneous magnetic field. *Scientific Researches in Theoretical and Applied Physics*, 1(1), 27-32.

### Keywords

First keyword,  
Second keyword,  
Third keyword, ...

Received: 2022/09/05

Accepted: 2022/12/21

Available: 2023/06/10

### ABSTRACT

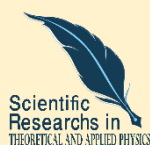
In this paper, quantum thermal entanglement in a three qubit XY spin chain in a non homogenous magnetic field is investigated and the amount of entanglement between the adjacent and non-adjacent qubits is measured by the concurrence criteria. Indeed, the dependence of the thermal entanglement on the controllable variables B (magnetic field), temperature T and the amount of heterogeneity b is investigated. The results of the paper shows that the thermal entanglement is decreased by increasing all three parameters B, T and b. Moreover, by controlling the mentioned parameters one can change the thermal entanglement between non-adjacent spins,  $c(\rho_{13})$ , so that its value gets a bigger amount with respect to the thermal entanglement of the adjacent spins, i.e.,  $c(\rho_{12})$  and  $c(\rho_{23})$ . Finally, changes of the thermal entanglement between the spins with respect to the temperature has been compared with the time evolution of the entanglements between the corresponding qubits.

\* Corresponding Author: Matin Alipour  
E-mail: matinalipour777@gmail.com

1. University of Tabriz

2. University of Tabriz, Faculty of Phisycs

## مقاله پژوهشی



## درهم تنیدگی کوانتومی حرارتی در زنجیره اسپینی سه کیوبیتی نوع XY تحت میدان مغناطیسی ناهمگن



متین علی پور<sup>۱\*</sup>، رحیمه صوفیانی<sup>۲</sup>



این مقاله به صورت دسترسی باز و با لایسنس CC BY NC کریتیو کامنز قابل استفاده است.



**ارجاع به این مقاله:** علی پور، متین؛ صوفیانی، رحیمه. (۱۴۰۱). درهم تنیدگی کوانتومی حرارتی در زنجیره اسپینی سه کیوبیتی نوع XY تحت میدان مغناطیسی ناهمگن. پژوهش‌های علمی در فیزیک نظری و کاربردی، (۱)، ۲۷-۳۲.

DOI:10.22034/STRAP.2023.15724



## چکیده

در این مقاله درهم تنیدگی کوانتومی حرارتی در یک زنجیره اسپینی سه کیوبیتی نوع XY را تحت اثر میدان مغناطیسی ناهمگن مورد بررسی قرار داده‌ایم و از معیار تلاقی (کانکورنس) برای اندازه‌گیری میزان درهم تنیدگی بین کیوبیت‌های مجاور و غیرمجاور استفاده کرده‌ایم. همچنین چگونگی وابستگی درهم تنیدگی حرارتی به متغیرهای قابل کنترل میدان مغناطیسی B، دمای T و میزان ناهمگنی b مورد بررسی قرار گرفته است. نتایج این بررسی نشان می‌دهد که این همبستگی با افزایش هر سه پارامتر T، B و b کاهش پیدا می‌کند. به علاوه با کنترل پارامترهای یاد شده می‌توان درهم تنیدگی حرارتی بین اسپین‌های غیرمجاور،  $c(\rho_{13})$ ، را طوری تغییر داد که مقدار آن نسبت به درهم تنیدگی‌های حرارتی بین اسپین‌های مجاور یعنی  $c(\rho_{12})$  و  $c(\rho_{23})$  مقدار بزرگتری کسب کند. در نهایت، تغییرات دمایی درهم تنیدگی حرارتی بین اسپین‌ها با تغییرات زمانی درهم تنیدگی‌های کیوبیت‌های نظیر مقایسه شده است.

## کلیدواژه‌ها

درهم تنیدگی کوانتومی حرارتی، زنجیره اسپینی نوع XY، میدان مغناطیسی ناهمگن، تلاقی

دریافت شده: ۱۴۰۱/۰۶/۱۴

پذیرفته شده: ۱۴۰۱/۰۹/۳۰

منتشر شده: ۱۴۰۲/۰۳/۲۰

\* نویسنده مسئول: متین علی پور

رایانامه: matinalipour777@gmail.com

۱- دانشگاه تبریز

۲- دانشگاه تبریز، دانشکده فیزیک

## مقدمه

درهم تنیدگی کوانتومی به عنوان یک ویژگی جالب در مکانیک کوانتومی نوعی همبستگی غیرموضعی ذاتی است که به عنوان یک فاکتور بسیار مهم برای اطلاعات و محاسبات کوانتومی مطرح است. این همبستگی در سیستم‌های حالت جامد که در زنجیره اسپینی نمود پیدا کرده است بسیار مهم و حائز اهمیت می‌باشد. در واقع، زنجیره اسپینی یکی از کاندیداهای ساخت کامپیوترهای کوانتومی است که از کدگذاری و برهمکنش هایزنبرگ می‌توان در محاسبات کوانتومی استفاده کرد. همچنین می‌توان از درهم تنیدگی کوانتومی در کدگذاری، انتقال از راه دور و فشرده‌سازی اطلاعات یا حالت‌های کوانتومی استفاده کرد. باید در نظر داشت عوامل محیطی بر درهم تنیدگی کوانتومی اثر می‌گذارد. از طرف دیگر، درهم تنیدگی حرارتی نوع طبیعی و پایدار همبستگی کوانتومی وابسته به تعادل حرارتی است و به طور کلی برای درک خواص سیستم‌های حالت جامد به کار می‌رود. اندازه‌گیری درهم تنیدگی حرارتی در یک زنجیره اسپینی سه کیوبیتی انگیزه اصلی این مقاله است. ما در این مقاله میدان مغناطیسی ناهمگن را وارد کرده‌ایم و تاثیرات آن را بر درهم تنیدگی حرارتی بین اسپین‌های مجاور و غیرمجاور در زنجیره مورد بررسی قرار داده‌ایم. برای این منظور، ابتدا طیف هامیلتونی سیستم را محاسبه کرده و ماتریس‌های چگالی کاهش یافته برای زیرسیستم‌های مربوطه را بدست آورده‌ایم. سپس از طریق معیار تلاقی برای حالت‌های  $X$ ، درهم تنیدگی حرارتی زیرسیستم‌های دو کیوبیتی را محاسبه کرده‌ایم که در ادامه به معرفی مدل و جزئیات مساله می‌پردازیم.

معیار تلاقی برای سیستم دو کیوبیتی که به عنوان معیار درهم تنیدگی کوانتومی به کار می‌رود به صورت زیر تعریف می‌شود:

$$c(\rho) = \max \{0, \lambda_1 - \lambda_2 - \lambda_3 - \lambda_4\} \quad (1)$$

که در آن،  $\rho$  ماتریس چگالی سیستم مربوطه و مقادیر  $\lambda_i$  ( $i = 1, 2, 3, 4$ ) جذر مقادیر ویژه عملگر زیر هستند

$$R = (\sigma_1^Y \otimes \sigma_2^Y) \rho^* (\sigma_1^Y \otimes \sigma_2^Y)^\dagger \quad (2)$$

$\rho^*$  مزدوج مختلط ماتریس چگالی است.

برای حالت‌های دو کیوبیتی نوع  $X$  که ماتریس چگالی آن‌ها به شکل زیر است:

$$\rho = \begin{bmatrix} \rho^{11} & 0 & 0 & \rho^{14} \\ 0 & \rho^{22} & \rho^{23} & 0 \\ 0 & \rho^{32} & \rho^{33} & 0 \\ \rho^{41} & 0 & 0 & \rho^{44} \end{bmatrix} \quad (3)$$

معیار تلاقی (کانکورنس) از رابطه (۱) به صورت زیر استخراج می‌شود [4]:

$$c(\rho) = 2 \max \{0, |\rho_{23}| - \sqrt{\rho_{11}\rho_{44}}, |\rho_{14}| - \sqrt{\rho_{22}\rho_{33}}\} \quad (4)$$

## مدل هایزنبرگ XY برای زنجیره سه کیوبیتی

در این بخش مدل سه کیوبیتی هایزنبرگ را مورد مطالعه قرار می‌دهیم که تحت تاثیر میدان مغناطیسی غیریکنواخت قرار دارد. این مدل با هامیلتونی زیر داده می‌شود:

$$H = J(\sigma_1^X \sigma_2^X + \sigma_2^X \sigma_3^X + \sigma_1^Y \sigma_2^Y + \sigma_2^Y \sigma_3^Y) + B_1 \sigma_1^Z + B_2 \sigma_2^Z + B_3 \sigma_3^Z \quad (5)$$

می‌توان با استفاده از تبدیل جردن - ویگنر، هامیلتونی بالا را به شکل زیر نوشت:

$$H = 2J(\sigma_1^+ \sigma_2^- + \sigma_2^+ \sigma_3^- + \sigma_1^- \sigma_2^+ + \sigma_2^- \sigma_3^+) + B_1 \sigma_1^Z + B_2 \sigma_2^Z + B_3 \sigma_3^Z \quad (6)$$

در رابطه (5)،  $\sigma_n = (\sigma_n^X, \sigma_n^Y, \sigma_n^Z)$ ، ماتریس‌های پائولی معروف هستند و اندیس  $n$  بر حسب شماره کیوبیت است که از ۱ تا ۳ تغییر می‌کند.  $B$  میدان مغناطیسی در جهت  $Z$  است.  $J$  ثابت جفت‌شدگی هست، حالت  $J < 0$  باشد مربوط به زنجیره فرومغناطیسی است و  $J > 0$  مربوط به زنجیره پادفرومغناطیسی است. ما برای سادگی، در محاسبات خود  $J = 1$  را در نظر خواهیم گرفت. میدان‌های مغناطیسی موضعی بر روی کیوبیت‌ها را به صورت زیر در نظر می‌گیریم:

$$B_1 = B + b, B_2 = B, B_3 = B - b \quad (7)$$

که در رابطه بالا،  $b$  پارامتر ناهمگنی میدان مغناطیسی است.

با انتخاب پایه محاسباتی به شکل زیر،

$$\{|000\rangle, |001\rangle, |010\rangle, |100\rangle, |110\rangle, |101\rangle, |011\rangle, |111\rangle\}$$

ویژه مقدار هامیلتونی به صورت زیر بدست می‌آیند:

$$E_1 = 3B$$

$$E_2 = B + 2\Delta$$

$$E_3 = B$$

$$E_4 = B - 2\Delta$$

$$E_5 = -B - 2\Delta$$

$$E_6 = -B$$

$$E_7 = -B + 2\Delta$$

$$E_8 = -3B \quad (8)$$

غیرمجاور یعنی  $\rho^{(12)}(T)$ ،  $\rho^{(13)}(T)$  و  $\rho^{(23)}(T)$  را با استفاده از ردگیری جزئی  $\rho^{(12)}(T)=Tr_3(\rho(T))$  ،  $\rho^{(13)}(T)=Tr_2(\rho(T))$  و  $\rho^{(23)}(T)=Tr_1(\rho(T))$  محاسبه می‌کنیم. سپس به بررسی تلاقی بین کیوبیت‌های مربوطه خواهیم پرداخت.

با استفاده از روابط (8)، (9)، (10) و (۱۱)، ماتریس چگالی قابل محاسبه است که از طریق ردگیری جزئی روی اطلاعات کیوبیت سوم، درایه‌های غیر صفر ماتریس چگالی کاهش یافته مربوط به کیوبیت‌های اول و دوم بصورت زیر بدست می‌آیند:

$$\rho_{11}^{(12)} = e^{(-\beta B)} [e^{(-2\beta B)} + (1/\Delta)^2 + \Omega^2 e^{(-2\beta \Delta)} + \Phi^2 e^{(2\beta \Delta)}]$$

$$\rho_{22}^{(12)} = (1/\Delta)^2 (b^2 e^{(\beta B)} + e^{(-\beta B)}) + \Omega^2 e^{(-2\beta \Delta)} (\theta^2 e^{(-\beta B)} + e^{(\beta B)}) + \Phi^2 e^{(2\beta \Delta)} (\theta^2 e^{(-\beta B)} + e^{(\beta B)})$$

$$\rho_{23}^{(12)} = 2(1/\Delta)^2 b \sinh(\beta B) + \xi \Omega^2 e^{(-2\beta \Delta)} (\theta e^{(-\beta B)} + e^{(\beta B)}) + \gamma \Phi^2 e^{(2\beta \Delta)} (\theta e^{(-\beta B)} + e^{(\beta B)})$$

$$\rho_{32}^{(12)} = 2(1/\Delta)^2 b \sinh(\beta B) + \xi \Omega^2 e^{(-2\beta \Delta)} (\theta e^{(-\beta B)} + e^{(\beta B)}) + \gamma \Phi^2 e^{(2\beta \Delta)} (\theta e^{(-\beta B)} + e^{(\beta B)})$$

$$\rho_{33}^{(12)} = (1/\Delta)^2 (b^2 e^{(-\beta B)} + e^{(\beta B)}) + \Omega^2 e^{(-2\beta \Delta)} (\xi^2 e^{(-\beta B)} + e^{(\beta B)}) + \Phi^2 e^{(2\beta \Delta)} (\gamma^2 e^{(-\beta B)} + e^{(\beta B)})$$

$$\rho_{44}^{(12)} = e^{(\beta B)} [e^{(2\beta B)} + (1/\Delta)^2 + \theta^2 \Omega^2 e^{(-2\beta \Delta)} + \theta^2 \Phi^2 e^{(2\beta \Delta)}] \quad (12)$$

در رابطه (12)، از نمادگذاری زیر استفاده کرده‌ایم:

$$\Omega = \frac{1}{\Delta(\Delta+b)}$$

$$\theta = \Delta^2 + b\Delta - 1$$

$$\xi = \Delta + b$$

$$\Phi = \frac{1}{\Delta(\Delta-b)}$$

$$\theta = \Delta^2 - b\Delta - 1$$

$$\gamma = \Delta - b$$

$$(13)$$

همچنین در محاسبه درایه‌های غیر صفر ماتریس کاهش یافته مربوط به کیوبیت‌های اول و سوم و نیز کیوبیت‌های دوم و سوم، از رابطه (13) بهره گرفته‌ایم.

ویژه بردارهای مربوطه نیز به صورت زیر قابل محاسبه هستند:

$$|\Psi_1\rangle = |000\rangle$$

$$|\Psi_2\rangle = \frac{1}{\Delta(\Delta+b)} [(\Delta^2 + b\Delta - 1) |001\rangle + (\Delta + b) |010\rangle + |100\rangle]$$

$$|\Psi_3\rangle = \frac{1}{\Delta} (-|001\rangle + |010\rangle + |100\rangle)$$

$$|\Psi_4\rangle = \frac{1}{\Delta(\Delta-b)} [(\Delta^2 - b\Delta - 1) |001\rangle + (\Delta - b) |010\rangle + |100\rangle]$$

$$|\Psi_5\rangle = \frac{1}{\Delta(\Delta-b)} [(\Delta^2 - b\Delta - 1) |011\rangle + (\Delta - b) |101\rangle + |110\rangle]$$

$$|\Psi_6\rangle = \frac{1}{\Delta} (-|011\rangle + |101\rangle + |110\rangle)$$

$$|\Psi_7\rangle = \frac{1}{\Delta(\Delta+b)} [(\Delta^2 + b\Delta - 1) |011\rangle + (\Delta + b) |101\rangle + |110\rangle]$$

$$|\Psi_8\rangle = |111\rangle$$

$$\Delta = \sqrt{2 + b^2} \quad (9)$$

در ادامه به بررسی حالت‌های زیرسیستم‌های دو کیوبیتی و درهم‌تنیدگی حرارتی نظیر آن‌ها می‌پردازیم.

### ماتریس‌های چگالی کاهش یافته برای زیرسیستم‌های دو کیوبیتی

برای بررسی درهم‌تنیدگی کوانتومی حرارتی بین کیوبیت‌های مجاور و غیرمجاور در زنجیره سه اسپینی مورد مطالعه، نیاز به محاسبه ماتریس‌های چگالی کاهش یافته مربوطه داریم. خوشبختانه حالت مربوط به زیرسیستم‌های دو کیوبیتی همه از نوع X هستند و تلاقی آن‌ها بطور دقیق از طریق رابطه (۴) قابل محاسبه است.

در حالت تعادل حرارتی، وضعیت سیستم در دمای T را می‌توان با ماتریس چگالی زیر توصیف کرد:

$$\rho(T) = (1/Z) \exp(-\beta H) = (1/Z) \sum_{n=1}^{n=8} \exp(-\beta E_n) |\Psi_n\rangle \langle \Psi_n| \quad (10)$$

در رابطه بالا،  $\beta = 1/K_B T$  و  $K_B$  ثابت بولتزمن می‌باشد. Z تابع پارش سیستم است که با رابطه  $Z = Tr \exp(-\beta H)$  داده می‌شود. با استفاده از طیف هامیلتونی که در بخش قبل بدست آمد، تابع پارش Z به صورت زیر محاسبه می‌شود:

$$Z = 2 \cosh(3\beta B) + 2 \cosh(\beta B) + 4 \cosh(\beta B) \cosh(2\beta \Delta) \quad (11)$$

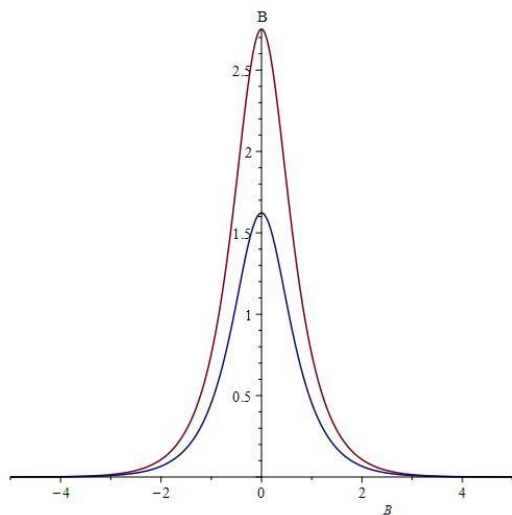
حال با استفاده از (10)، ماتریس چگالی را یافته و ماتریس‌های چگالی کاهش یافته مربوط به کیوبیت‌های مجاور (همسایه) و نیز کیوبیت‌های

## درهم تنیدگی کوانتومی حرارتی زیرسیستم‌ها

در این بخش مقدار درهم تنیدگی کوانتومی حرارتی زیرسیستم‌های مربوطه را مورد ارزیابی قرار می‌دهیم. اثرات حرارتی تمایل به از بین بردن همبستگی - های کوانتومی دارند که این اثر باعث کاهش هم‌دوسی می‌شود. می‌خواهیم ببینیم برای درهم تنیدگی مابین کیوبیت‌ها چه اتفاقی می‌افتد.

با استفاده از درایه‌های غیر صفر ماتریس چگالی کاهش یافته (12)، (14) و (15) و همچنین معیار تلاقی در رابطه (4)، درهم تنیدگی حرارتی زیر سیستم‌ها قابل محاسبه است. در این بخش، درهم تنیدگی زیرسیستم‌ها را از طریق رسم نمودارهایی بر حسب پارامترهای قابل کنترل  $T$ ،  $B$  و  $b$  مورد تجزیه و تحلیل قرار می‌دهیم.

در شکل (1)، معیار تلاقی برای هر سه جفت کیوبیت مجاور (12)، (23) و غیرمجاور (13) بر حسب میدان مغناطیسی همگن  $B$  ( $b=0$ ) رسم شده است.



شکل (1). رنگ آبی، درهم تنیدگی حرارتی  $C(\rho_{13})$  و رنگ قرمز، درهم تنیدگی حرارتی  $C(\rho_{12})$  یا  $C(\rho_{23})$ ، بر حسب میدان مغناطیسی  $B$ ، که  $T=1$  و  $b=0$  است

مشاهده می‌شود که با افزایش میدان مغناطیسی، در قسمت منفی نمودار، درهم تنیدگی حرارتی افزایش می‌یابد سپس در قسمت مثبت شروع به کاهش می‌کند. در واقع نمودار متقارن است.  $C(\rho_{12})$  و  $C(\rho_{23})$  با رنگ قرمز، در محدوده مشخص شده، منطبق برهم هستند و همانند یکدیگر رفتار می‌کنند، که انتظار آن را داشتیم.  $C(\rho_{13})$  با رنگ آبی، دارای مقدار کمتری نسبت به  $C(\rho_{12})$  و  $C(\rho_{23})$  است.

در شکل (2) درهم تنیدگی حرارتی بر حسب دمای  $T$  رسم شده است. با بررسی آن متوجه می‌شویم که با افزایش دما درهم تنیدگی به یک نقطه بیشینه می‌رسد سپس شروع به کاهش می‌کند.  $C(\rho_{12})$  و  $C(\rho_{23})$  با رنگ آبی مجدداً منطبق برهم هستند و  $C(\rho_{13})$  با رنگ قرمز، دارای مقدار کمتری نسبت به  $C(\rho_{12})$  و  $C(\rho_{23})$  می‌باشد.

حال از طریق ردگیری جزئی روی اطلاعات کیوبیت دوم، درایه‌های غیر صفر ماتریس چگالی کاهش یافته مربوط به کیوبیت‌های اول و سوم به صورت زیر قابل محاسبه هستند:

$$\rho_{11}^{(13)} = e^{(-\beta B)} [e^{(-2\beta B)} + b^2 (1/\Delta)^2 + \xi^2 \Omega^2 e^{(-2\beta \Delta)} + \gamma^2 \Phi^2 e^{(2\beta \Delta)}]$$

$$\rho_{22}^{(13)} = \cosh(\beta B) [2(1/\Delta)^2 + 2\theta^2 \Omega^2 e^{(-2\beta \Delta)} + 2\theta^2 \Phi^2 e^{(2\beta \Delta)}]$$

$$\rho_{33}^{(13)} = \cosh(\beta B) [-2(1/\Delta)^2 + 2\theta \Omega^2 e^{(-2\beta \Delta)} + 2\theta \Phi^2 e^{(2\beta \Delta)}]$$

$$\rho_{32}^{(13)} = \cosh(\beta B) [-2(1/\Delta)^2 + 2\theta \Omega^2 e^{(-2\beta \Delta)} + 2\theta \Phi^2 e^{(2\beta \Delta)}]$$

$$\rho_{33}^{(13)} = \cosh(\beta B) [2(1/\Delta)^2 + 2\Omega^2 e^{(-2\beta \Delta)} + 2\Phi^2 e^{(2\beta \Delta)}]$$

$$\rho_{44}^{(13)} = e^{(\beta B)} [e^{(2\beta B)} + b^2 (1/\Delta)^2 + \xi^2 \Omega^2 e^{(-2\beta \Delta)} + \gamma^2 \Phi^2 e^{(2\beta \Delta)}] \quad (14)$$

در نهایت، از طریق ردگیری جزئی روی اطلاعات کیوبیت اول، درایه‌های غیر صفر ماتریس چگالی کاهش یافته مربوط به کیوبیت‌های دوم و سوم به صورت زیر بدست می‌آیند:

$$\rho_{11}^{(23)} = e^{(-\beta B)} [e^{(-2\beta B)} + (1/\Delta)^2 + \theta^2 \Omega^2 e^{(-2\beta \Delta)} + \theta^2 \Phi^2 e^{(2\beta \Delta)}]$$

$$\rho_{22}^{(23)} = (1/\Delta)^2 (b^2 e^{(-\beta B)} + e^{(\beta B)} + \Omega^2 e^{(-2\beta \Delta)} (\xi^2 e^{(-\beta B)} + \theta^2 e^{(\beta B)}) + \Phi^2 e^{(2\beta \Delta)} (\gamma^2 e^{(-\beta B)} + \theta^2 e^{(\beta B)}))$$

$$\rho_{23}^{(23)} = -2(1/\Delta)^2 b \sinh(\beta B) + \xi \Omega^2 e^{(-2\beta \Delta)} (e^{(-\beta B)} + \theta e^{(\beta B)}) + \gamma \Phi^2 e^{(2\beta \Delta)} (e^{(-\beta B)} + \theta e^{(\beta B)})$$

$$\rho_{32}^{(23)} = -2(1/\Delta)^2 b \sinh(\beta B) + \xi \Omega^2 e^{(-2\beta \Delta)} (e^{(-\beta B)} + \theta e^{(\beta B)}) + \gamma \Phi^2 e^{(2\beta \Delta)} (e^{(-\beta B)} + \theta e^{(\beta B)})$$

$$\rho_{33}^{(23)} = (1/\Delta)^2 (e^{(-\beta B)} + b^2 e^{(\beta B)}) + \Omega^2 e^{(-2\beta \Delta)} (e^{(-\beta B)} + \xi^2 e^{(\beta B)}) + \Phi^2 e^{(2\beta \Delta)} (e^{(-\beta B)} + \gamma^2 e^{(\beta B)})$$

$$\rho_{44}^{(23)} = e^{(\beta B)} [e^{(2\beta B)} + (1/\Delta)^2 + \Omega^2 e^{(-2\beta \Delta)} + \Phi^2 e^{(2\beta \Delta)}] \quad (15)$$

تشابه رفتاری در درهم‌تنیدگی‌های  $c(\rho_{12})$  و  $c(\rho_{23})$  نکته‌ای است که انتظار آن را داشتیم و آنچه تفاوت بین این دو درهم‌تنیدگی حرارتی کوانتومی را ایجاد می‌کند، مقدار ناهمگنی میدان مغناطیسی یعنی  $b$  است.

از طرفی می‌توان مقدار درهم‌تنیدگی حرارتی بین کیوبیت‌های غیرمجاور یعنی  $c(\rho_{13})$  را با تغییر پارامترهای قابل کنترل تحت تاثیر قرار داد تا نسبت به درهم‌تنیدگی کیوبیت‌های مجاور مقدار بزرگ‌تری اختیار کند.

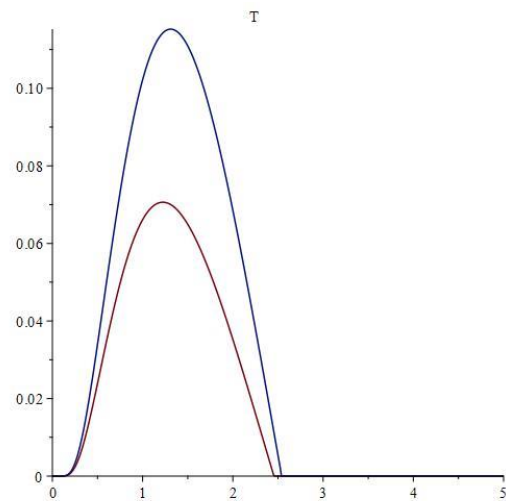
### مقایسه درهم‌تنیدگی حرارتی و زمانی

می‌دانیم که سیستم‌های کوانتومی با محیط اطراف برهم‌کنش می‌کنند که موجب عدم هم‌دوسی آن می‌شود. یکی از راه‌حل‌ها این است که معادله شرودینگر را به نحوی تغییر دهیم که این هم‌دوسی به‌طور خودکار با تکامل سیستم کوانتومی از بین برود، که این را اثر ناهم‌دوسی ذاتی می‌گویند. نام هم‌دوسی ذاتی توسط تقریب مارکوی بررسی می‌شود. در مرجع [15]، زنجیره اسپینی سه کیوبیتی با این نوع ناهم‌دوسی ذاتی در نظر گرفته شده و تغییرات درهم‌تنیدگی بین جفت کیوبیت‌ها بررسی شده است. تکامل زمانی عملگر چگالی برای سیستم مورد نظر ما به‌صورت زیر است:

$$\rho(t) = \sum_{mn} \exp\left[-\frac{\gamma t}{2}(E_m - E_n)^2 - i(E_m - E_n)t\right] \langle \Psi_m | \rho(0) | \Psi_n \rangle | \Psi_m \rangle \langle \Psi_n | \quad (16)$$

$\gamma$  در رابطه بالا نرخ ناهم‌دوسی ذاتی است که براساس ویژه مقادیر و ویژه بردارهای داده شده در روابط (۸) و (۹) نوشته شده است. برای محاسبه درایه‌های ماتریس چگالی از رابطه (۸)، (۹) و (۱۶) استفاده می‌شود و همچنین برای محاسبه درهم‌تنیدگی زمانی از رابطه (۴) بهره برده می‌شود، که این محاسبات در مرجع [15] انجام گرفته است.

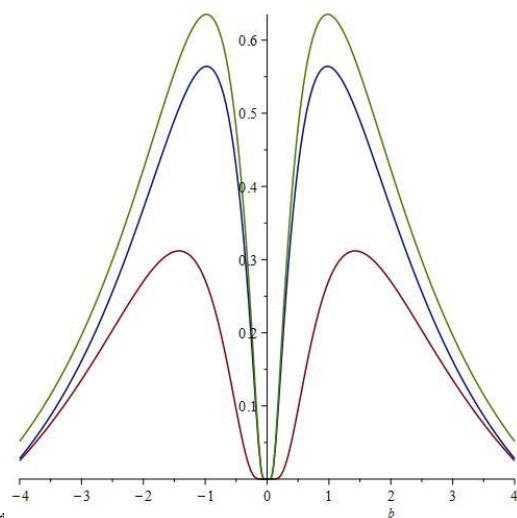
اگر تلاقی را بر حسب تغییرات زمانی بررسی کنیم، متوجه می‌شویم که با افزایش زمان، به‌صورت نوسانی کاهش می‌یابد. همچنین با افزایش میدان مغناطیسی، تلاقی افزایش و سپس کاهش می‌یابد و این رفتار را تکرار می‌کند. در واقع برای کیوبیت‌های اول و دوم، میدان مغناطیسی  $B$  می‌تواند به کمک مقدار ناهمگنی میدان بیاورد تا تلاقی زمانی را افزایش دهد. نهایتاً درهم‌تنیدگی زمانی ممکن است با افزایش ناهمگنی میدان مغناطیسی افزایش و سپس کاهش یابد. با مقایسه می‌توان مشابَهت‌هایی بین درهم‌تنیدگی حرارتی و زمانی در رفتار سیستم که بر حسب میدان مغناطیسی  $B$  و ناهمگنی  $b$  تغییر می‌کند پیدا کرد. همچنین با کنترل میدان مغناطیسی و ناهمگنی مربوط به آن می‌توان هر دو درهم‌تنیدگی را تحت کنترل داشت. به‌علاوه در تلاقی زمانی متوجه می‌شویم که میدان مغناطیسی غیریک‌نواخت می‌تواند تلاقی  $c(\rho(t)_{13})$  را تا حد زیادی افزایش دهد که در دو مورد دیگر امکان‌پذیر نیست. همچنین میدان مغناطیسی می‌تواند به مقدار ناهمگنی میدان مغناطیسی کمک کند که برای تلاقی کیوبیت‌های اول و دوم صادق است. به‌طریق مشابه در درهم‌تنیدگی کوانتومی حرارتی متوجه شدیم،  $c(\rho(T)_{13})$  را می‌توان با تغییر پارامترهای متغیر مانند میدان مغناطیسی و مقدار



شکل (۲)

رنگ قرمز، درهم‌تنیدگی حرارتی  $c(\rho_{13})$  و رنگ آبی، درهم‌تنیدگی حرارتی  $c(\rho_{12})$  یا  $c(\rho_{23})$ ، بر حسب زمان  $T$ ، که  $B=2$  و  $b=0$  است.

در شکل (۳) درهم‌تنیدگی حرارتی بر حسب مقدار ناهمگنی مغناطیسی  $b$  رسم شده است.



شکل (۳)

رنگ قرمز، درهم‌تنیدگی حرارتی  $c(\rho_{13})$ ، رنگ آبی، درهم‌تنیدگی حرارتی  $c(\rho_{12})$  و رنگ سبز، درهم‌تنیدگی حرارتی  $c(\rho_{23})$ ، بر حسب مقدار ناهمگنی مغناطیسی  $b$ ، که  $T=1$  و  $B=0$  است.

متوجه می‌شویم که با افزایش مقدار ناهمگنی مغناطیسی در قسمت منفی، ابتدا تلاقی به یک نقطه بیشینه می‌رسد سپس به صفر رسیده و با رفتن به سمت قسمت مثبت مجدداً به حداکثر مقدار خود رسیده و سپس کاهش می‌یابد. به عبارتی نمودار متقارن است. در این نمودار  $c(\rho_{23})$  که با رنگ سبز مشخص شده است دارای بیشترین مقدار درهم‌تنیدگی حرارتی است بعد از آن به ترتیب  $c(\rho_{12})$  با رنگ آبی و  $c(\rho_{13})$  با رنگ قرمز قرار گرفته‌اند.

## منابع و مراجع

- [1] C. H. Bennett, G. Brassard, C. Crepeau, R. Jozsa, A. Peres, and K. Wootters, Phys. Rev. Lett. 70, 1895 (1993)
- [2] A. K. Ekert, Phys. Rev. Lett. 67, 661 (1991).
- [3] S. Hill and W. K. Wootters, Phys. Rev. Lett. 78, 5022 (1997).
- [4] W. K. Wootters, Phys. Rev. Lett. 80, 2245 (1998).
- [5] M. Murao, D. Jonathan, M. B. Plenio, and V. Vedral, Phys. Rev. A 59, 156 (1999).
- [6] M. C. Arnesen, S. Bose, and V. Vedral, Phys. Rev. Lett. 87, 017901 (2001).
- [7] X. G. Wang, Phys. Rev. A 64, 012313 (2001).
- [8] M. C. Arnesen, S. Bose, and V. Vedral, Phys. Rev. Lett. 87, 017901 (2001).
- [9] G. L. Kamta and A. F. Starace, Phys. Rev. Lett. 88, 107901 (2002).
- [10] Osterloh A, Amico L, Falci G and Fazio R 2002 Nature
- [11] Y. Sun, Y. G. Chen, and H. Chen, Phys. Rev. A 68, 044301 (2003).
- [12] U. Glaser, H. B'uttner, and H. Fehske, Phys. Rev. A 68, 032318 (2003), quant-ph/0305108.
- [13] L. F. Santos, G. Rigolin and C. O. Escobar, Phys. Rev. A 69, 042304 (2004).
- [14] Guo-Feng Zhang, Shu-Shen Li. Phys. Rev. A 72, 034302 (2005)
- [15] Guo-Feng Zhang. Physical Review A 75, 034304 (2007)
- [16] Yue Zhou, Guo-Feng Zhang. The European Physical Journal D volume 47, pages227–231 (2008)
- [17] Horodecki R, Horodecki P, Horodecki M and Horodecki K 2009 Rev. Mod. Phys.
- [18] Jin-Liang Guo, He-Shan Song. Physica A 388 (2009) 2254–2261
- [19] Tomotaka Kuwahara, Naomichi Hatano. Phys. Rev. A 83, 062311 (2011)
- [20] Onofre Rojas, M Rojas, N. S. Ananikian and S. M. de Souza. Phys. Rev. A 86, 042330 (2012)
- [21] Raphael Fortes, Gustavo Rigolin. Phys. Rev. A 96, 022315 (2017)
- [22] Mohammad Reza Pourkarimi, Vol. 16, No. 7 (2018) 1850057
- [23] Youssef Khedif, Mohammed Daoud, El Hassan Sayouty. Phys. Scr. 94 (2019) 125106
- [24] DaeKil Park. Quantum Information Processing volume 18, Article number: 172 (2019)
- [25] Abdel-Aty Abdel-Haleem, Khedr Ahmad N, Khedr Ahmad N, Saddeek Yasser B. Thermal Science 2020 Volume 24, Issue Suppl. 1 (2020)
- [26] L. S. Lima. Journal of Low Temperature Physics volume 198, pages241–251 (2020)
- [27] Youssef Khedif, Mohammed Daoud. Vol. 36, No. 11, 2150074 (2021)

ناهمگنی میدان افزایش داد و به مقدار بزرگتری نسبت به دو مورد دیگر رساند. در حالت کلی در تلاقی زمانی، میدان مغناطیسی غیریکنواخت برای  $c(\rho(t)_{13})$  مفیدتر است.

## بحث و نتیجه گیری

در این مطالعه، درهم تنیدگی حرارتی را زمانی که تحت یک میدان مغناطیسی غیریکنواخت هست برای زنجیره سه کیوبیت بررسی کردیم. از طریق هامیلتونی داده شده و همچنین با استفاده از محاسبات ریاضی درهم تنیدگی حرارتی به دست آمد. به طور خلاصه، در سه موردی که برای در هم تنیدگی حرارتی  $c(\rho_{12})$ ،  $c(\rho_{23})$  و  $c(\rho_{13})$  بررسی شد با افزایش میدان مغناطیسی درهم تنیدگی حرارتی کاهش می یابد. برای درهم تنیدگی حرارتی بر حسب دما هم همچون مورد قبل با افزایش دما، همبستگی کوانتومی بین کیوبیت ها کاهش می یابد. تغییرات درهم تنیدگی جفت کیوبیت های سیستم بر حسب مقدار ناهمگنی میدان مغناطیسی  $b$  نیز به همین صورت است و ما متوجه شدیم که درهم تنیدگی حرارتی  $c(\rho_{12})$  و  $c(\rho_{23})$  بر حسب سه پارامتر در محدوده بررسی شده همچون یکدیگر رفتار می کنند و آنچه موجب تمایز آن ها می شود مقدار ناهمگنی میدان مغناطیسی است. همچنین درهم تنیدگی حرارتی  $c(\rho_{13})$  که با پارامترهایی که قابل تغییر هستند، قابل کنترل است و می توان مقدار آن را طوری تغییر داد که نسبت به درهم تنیدگی حرارتی  $c(\rho_{12})$  و  $c(\rho_{23})$  افزایش یابد.